

I-171 バネ支持された薄肉ばりのねじりについて

大阪市立大学 正員 倉田宗章
明石工業高専 正員 高端宏直

1. まえがき ……ねじり角θと抵抗モーメント M_t が比例関係にあるようなバネ(バネ常数 k_t)に連続的に支持された薄肉ばりのねじりについて解析した。無限長と有限長の場合について集中トルク M_t が作用したときの曲げ位や種々のねじりモーメントを求め、バネ剛性、ねじり剛性 GJ 、曲げねじり剛性 EC_w による影響を検討した。おわりにバネが塑性化して図-1のように $M_t-\theta$ 曲線がBilinearになった場合についても調べた。

2. 基礎微分方程式と一般解 …… 微分方程式は Vlasov¹⁾ や Hetényi²⁾ によって求められていよいに弾性床上のはりに曲げと軸力が作用した場合に類似している。

$$\theta'' - 2r^2\theta'' + \delta^4\theta = 0 \quad (r^2 = GJ/2EC_w, \delta^4 = k_t/EC_w) \quad \text{--- (1)}$$

特性方程式を解き一般解を求めるところ通り。

$$\text{i) } \Delta > r \\ \theta = C_1 \cosh \alpha x \sin \beta x + C_2 \cosh \alpha x \cos \beta x + C_3 \sinh \alpha x \cos \beta x + C_4 \sinh \alpha x \sin \beta x$$

$$= e^{rx} (A_1 \sin \beta x + A_2 \cos \beta x) + e^{-rx} (A_3 \sin \beta x + A_4 \cos \beta x).$$

$$\text{ii) } \Delta = r \\ \theta = C_1 \sinh rx + C_2 \cosh rx + C_3 x \cosh rx + C_4 x \sinh rx$$

$$= A_1 e^{rx} + A_2 x e^{rx} + A_3 e^{-rx} + A_4 x e^{-rx}, \quad \text{--- (2)}$$

$$\text{iii) } \Delta < r \\ \theta = C_1 \sinh \mu_1 x + C_2 \cosh \mu_1 x + C_3 \sinh \mu_2 x + C_4 \cosh \mu_2 x$$

$$= A_1 e^{\mu_1 x} + A_2 e^{\mu_2 x} + A_3 e^{-\mu_1 x} + A_4 e^{-\mu_2 x},$$

$$\text{iv) } EC_w = 0 \\ \theta'' - r^2\theta = 0 \text{ より } \theta = C_1 e^{rx} + C_2 e^{-rx}$$

$$\text{ただし } \alpha = \sqrt{(\delta^4 + r^4)/2}, \beta = \sqrt{(\delta^4 - r^4)/2}, \mu_1 = \sqrt{r^2 \pm \sqrt{r^4 - \delta^4}}, \mu_2 = k_t/GJ,$$

つぎに種々のねじりモーメントは次式で表わされる。

St. Venant のねじりモーメント: $M_{ts} = GJ\theta'$, 曲げねじりモーメント: $M_w = EC_w\theta''$,

2次のねじりモーメント: $M_{tw} = -EC_w\theta'''$, 合成ねじりモーメント: $M_{tr} = M_{ts} + M_{tw}$, --- (3)

3. 無限長のはりに集中トルクが作用したとき(図-2) …… 一般解に

$[\theta]_{x \rightarrow \infty} = 0, [\theta]_{x=0} = 0, M_t = 2 \int k_t \theta dx$, の 3つの条件を用いて諸量を求めるところとなる。

$$\text{i) } \Delta > r : \theta = \frac{\delta^2 M_t}{4 \alpha k_t} A_x, M_{ts} = -\frac{r^2 M_t}{2 \alpha \beta} B_x, M_w = \frac{M_t}{4 \alpha} C_x, M_{tw} = -\frac{M_t}{2} D_x$$

$$r \neq \pm \alpha \text{ 时 } A_x = e^{rx} \left(\frac{\alpha}{\beta} \sin \beta x + \cos \beta x \right), B_x = e^{-rx} \sin \beta x, C_x = e^{-rx} \left(\frac{\alpha}{\beta} \sin \beta x - \cos \beta x \right),$$

$$D_x = e^{-rx} (\cos \beta x + \frac{\alpha^2 - \beta^2}{2 \alpha \beta} \sin \beta x)$$

$$\text{ii) } \Delta = r : \theta = \frac{r M_t}{4 k_t} e^{rx} (1 + rx), M_{ts} = -\frac{M_t}{2} rx e^{-rx}, M_w = \frac{M_t}{4} e^{-rx} (rx - 1), M_{tw} = \frac{M_t}{4} e^{-rx} (rx - 2)$$

$$\text{iii) } \Delta < r : \theta = \frac{\delta^2 M_t}{2 k_t \mu_{1,2}^2} (\mu_1 e^{-\mu_1 x} - \mu_2 e^{-\mu_2 x}), M_{ts} = \frac{r^2 M_t}{\mu_{1,2}^2} (e^{-\mu_1 x} - e^{-\mu_2 x}),$$

$$M_w = \frac{M_t}{2 \mu_{1,2}^2} (\mu_2 e^{-\mu_2 x} - \mu_1 e^{-\mu_1 x}), M_{tw} = \frac{M_t}{2 \mu_{1,2}^2} (\mu_1^2 e^{-\mu_1 x} - \mu_2^2 e^{-\mu_2 x}), \text{ ただし } \mu_{1,2}^2 = \mu_1^2 - \mu_2^2$$

$$\text{iv) } EC_w = 0 : \theta = \frac{r M_t}{2 k_t} e^{-rx}, M_{ts} = -\frac{M_t}{2} e^{-rx} \quad ([\theta]_{x \rightarrow \infty} = 0, M_t = 2 \int_0^\infty k_t \theta dx \text{ より})$$

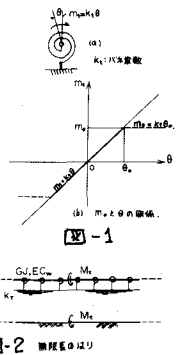


図-2 無限長のはり

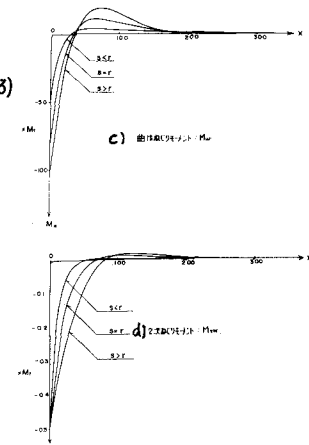
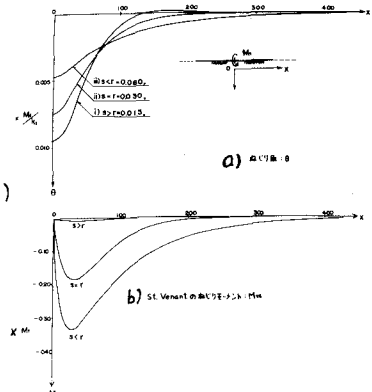


図-3

上記の i), ii), iii)についてでは $\theta=0.03$ に対して $r=0.015, 0.03, 0.06$ の3つの例の状況を図-3に描いた。θはγが小さい場合が大きく、またγの値に大きく影響される。またγが大きいときには弾性床上のはりの曲げのようにθがわずかであるが負を示す。M_{ts}はγが大きいとき、M_wとM_{sw}はγが小さなときに大きい値を示す。iv)の場合は図-4のようになり、せん断変形のみを考えた場合に相当する。x=0でθ'は不連続になる。

4. 無限長のはりに曲げねじりモーメントが作用したとき……図-5のように2つの方向反対のトルクが作用した場合に相当する。(4)式を適用してθを求める。

$$\text{i) } \theta = \frac{\delta^2 M_r}{4\alpha k_r} (-Ax_{\alpha} + Ax) = -\frac{\delta^2 M_r}{4\alpha k_r} \left[\frac{Ax_{\alpha} - Ax}{a} \right]_{a=0} = \frac{\delta^2 M_r}{4\alpha k_r} B_x, \quad \dots \dots \dots \quad (5)$$

$$\text{ii) } \theta = \frac{\tau^2 M_w}{4R_r} x e^{-rx}, \quad \text{iii) } \theta = \frac{\rho^4 M_{sw}}{2k_r \mu_{i-2}^2} (e^{-\mu_1 x} - e^{-\mu_2 x}),$$

5. 有限長のはり……図-6のようなときは2つの領域に分けて考えればよい。図-7に示した計算例は k_t, GJ, EC_w は一定で $a=b=\frac{1}{2}$ とし、両端固定の場合と両端単純支持(回転拘束)の場合である。3の計算例と同じ α と γ の値である。諸量の傾向は3と同じであるが支持条件による影響が表われている。3と同様にγがやのときの M_{ts} の値が小さいようである。

6. 基礎が塑性化する場合……図-1&8を参照して塑性化した領域と弾性域とに分けて、B卓の不静定力 M_w と塑性域の長さ l_p を未知数として、B卓のθ' θ'_w と M_w の連続条件より求める。 M_w はB卓が塑性化するための荷重(そのときの角変位はθ')である。塑性域の部分はすでに解かれ、弾性域は半無限長のはり(d図)で(2)式より算いた。図-9は $n-l_p, n-M_w$ の関係を、図-10は $n-\theta_{max}$ の関係を示し、 $n > 1$ の部分が非線形の領域に入る。

7. あとがき……若干実際とは異なるが軌道を例にとって概算した。50Nレーレーで $k_t=10^4 \text{ kg}$, $EC_w=221.4 \times 10^6 \text{ kg cm}^4$, $GJ=130.5 \times 10^4 \text{ kg cm}^2$ として鉛直荷重 $P=q^+$, 横圧 $0.4P$ として角変位(小回り量)は $EC_w=0$ のときは 0.022 rad , 本法では 0.053 rad , 頭部の M_w による曲げ応力度は 699 kg/cm^2 程度である。これが曲げと連成されると 1440 kg/cm^2 程度になることも考へられる。このように断面形状によっては EC_w による影響を考へなければならない。△に比較して γ が大きくなる (EC_w, k_t 一定のとき GJ が大きくなること) と曲げねじりの影響が少なくなる。

[参考文献] 1) V.Z.Vlasov: 奥村訳:薄肉弾性はりの理論。技報堂 昭42.

2) M.Hetenyi: Beams on elastic foundation. The Univ. of Michigan Press. 1964

3). たとえば 小松: 薄肉構造物の理論と計算(1) 山海堂 昭44.

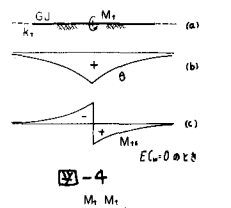


図-4

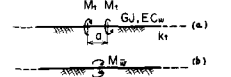


図-5

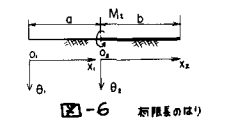


図-6

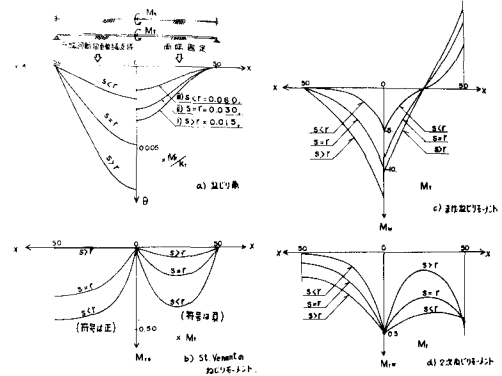


図-7

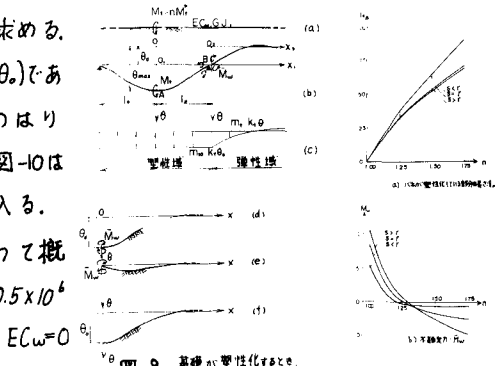


図-8

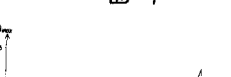


図-9

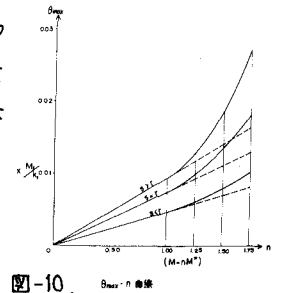


図-10